

## ارزیابی پارامتریک توانایی نگهداشت خاک در حضور نفت خام در حالت سه فازی<sup>۱</sup>

میلاد نوری<sup>۱</sup>، مهدی همایی<sup>۲\*</sup> و محمد بایبوردی<sup>۲</sup>

۱) دانشجوی کارشناسی ارشد گروه خاک‌شناسی؛ دانشکده کشاورزی؛ دانشگاه تربیت مدرس؛ تهران؛ ایران

۲) استاد گروه خاک‌شناسی؛ دانشکده کشاورزی؛ دانشگاه تربیت مدرس؛ تهران؛ ایران

\*تویستنده مسئول مکاتبات: mhomae@modares.ac.ir

تاریخ دریافت: ۹۱/۰۴/۲۰ تاریخ پذیرش: ۹۱/۰۸/۳۰

### چکیده

آلودگی زدایی خاک‌های آلوده به مواد نفتی برای حفاظت بهینه از منابع آب و خاک بسیار ضروری است. هرگونه آلودگی زدایی چنین خاک‌های مستلزم ارزیابی کمی ویژگی‌های هیدرولیکی خاک در حضور این آلینده‌ها می‌باشد. هدف از این پژوهش، بررسی توانایی نگهداشت خاک و اثر مقدار NAPL بر توانایی نگهداشت خاک در شرایط سه فازی NAPL-آب-هوای بود. بدین منظور، منحنی‌های نگهداشت خاک در سه نسبت اوایلی ۷۵-۷۵-NAPL، ۵۰-۵۰-NAPL و ۲۵-۲۵-NAPL-آب بوسیله‌ی دستگاه ستون آویزان تعیین شد. سپس منحنی‌های نگهداشت خاک توسط سه مدل ون‌گوتختن، بروکس-کوری و کمپل برآورد شد. همچنین، دقت مدل‌های هیدرولیکی بوسیله‌ی آماره‌های CRM، CD، EF و RMSE ME تعیین شد. نتایج نشان داد که مقدار پارامترهای توزیع تخلخل و نقطه ورود هوا در مدل‌های هیدرولیکی با افزایش LNAPL در محیط سه فازی کاهش یافت. بنابراین شبیه ساخته ورود هوا در منحنی‌های نگهداشت خاک در سیستم‌های سه فازی افزایش می‌یابد. همچنین در مقدار معینی فاز مایع، شبیه ساخته ورود هوا نسبت به دو فازی آب-هوای لازم است. بنابراین خاک نگهداشت بیشتری برای سیستم‌های سه فازی دارد. همچنین مقدار آماره‌ها نشان داد که مدل ون‌گوتختن برآورد مناسب‌تری از منحنی نگهداشت NAPL در سیستم سه فازی دارد.

**واژه‌های کلیدی:** سیستم‌های سه فازی NAPL-آب-هوای؛ مدل‌های هیدرولیکی خاک؛ منحنی نگهداشت خاک؛ NAPL

مقدمه

زیرزمینی تابعی از خصوصیات آلینده‌های نفتی و محیط متخالخل است (Newell *et al.*, 1995). از عوامل وابسته به NAPLها می‌توان به گرانزوی، جرم ویژه، قابلیت خیس‌کنندگی<sup>۴</sup>، کشش سطحی و مقدار مایع نشت کرده و از پارامترهای مربوط به محیط متخالخل به هدایت هیدرولیکی، بافت و سازند مادر، وجود حرکت ترجیحی<sup>۵</sup>

NAPLها<sup>۶</sup> وارد خاک می‌شوند، بخشی از آن‌ها تبخیر، قسمتی توسط موجودات زنده خاک تجزیه، جزیی توسط نیروی موئینگی خاک نگهداشت و بخشی به صورت اختلاط ناپذیر<sup>۷</sup> در محیط‌های متخالخل انتقال می‌یابند.

<sup>۱</sup> برگرفته از پایان نامه کارشناسی ارشد گروه خاک‌شناسی، دانشکده کشاورزی، دانشگاه تربیت مدرس

<sup>2</sup> Non-Aqueous Phase Liquids

<sup>3</sup> Immiscible displacement

<sup>4</sup> Wettability

<sup>5</sup> Preferential flow

لورت را تنها در دامنه محدودی از پتانسیل ماتریک خاک تایید کردند. Parker و همکاران (1987) با استفاده از فرضیات لورت معادله منحنی نگهداشت خاک ون گنوختن را برای NAPL و آب در سیستم‌های سه فازی ارایه کردند:

$$\bar{S}_w^{aow} = (1 + (\alpha_{ow} h_{ow})^n)^{-m} \quad (5)$$

$$\bar{S}_t^{aow} = (1 + (\alpha_{ao} h_{ao})^n)^{-m} \quad (6)$$

$$\bar{S}_w^{aow} = (S_w^{aow} - S_t^{aow}) / (1 - S_t^{aow}) \quad (7)$$

$$\bar{S}_t^{aow} = (S_t^{aow} - S_r) / (1 - S_r) \quad (8)$$

که در آن  $S_r$  مجموع مقدار NAPL و آب باقیمانده است. همچنین  $S_t = S_w + S_o$  است. اندیس aow نشان دهنده سه فازی بودن محیط است. همچنین Parker و همکاران (1987) فرض کردند که قابلیت خیس کنندگی آب بیشتر از NAPL و NAPL بیشتر از هوا است.

Cui و همکاران (2003) به بررسی اثر مقدار جرم ویژه و رطوبت اولیه خاک بر روی نگهداشت و هدایت خاک برای سالترول (نوعی LNAPL) پرداختند. نتایج آن‌ها نشان داد که با افزایش جرم ویژه خاک، نگهداشت خاک برای LNAPL افزایش یافت. همچنین با کاهش مقدار رطوبت خاک، هدایت هیدرولیکی و نگهداشت سالترول در سیستم‌های سه فازی افزایش یافت.

Alferi و همکاران (2001) به بررسی نگهداشت خاک (sand) مخلوطی از یک خاک silt و یک خاک silty sand در شرایط سه فازی سالترول-آب-هوا پرداختند. نتایج آن‌ها نشان داد که در سیستم‌های سه فازی نگهداشت محیط متخلخل برای مایع خاک افزایش می‌یابد و پارامتر نقطه ورود هوا منحنی نگهداشت کاهش یافت. تغییر توزیع تخلخل یکی از مهمترین پیامدهای حضور NAPL‌ها در خاک است. نتایج پژوهش Alferi و همکاران نشان داد که توزیع تخلخل خاک در اثر حضور LNAPL در خاک از حالت تک تخلخل<sup>۱</sup> به دو تخلخل<sup>۱</sup> تغییر یافت. Lenhard و

Mercer and Cohen, 1990; Newell et al., 1995 و عمق سفره آب زیرزمینی اشاره کرد (Cohen, 1990; Newell et al., 1995).

مدلسازی انتقال آلاینده‌های آلی در محیط متخلخل چند فازی، نیازمند حل معادله جریان برای تمامی اجزای محرك در سیستم است (Pinder and Grey, 2008). معادله Richards (1931) چگونگی انتقال سیالات در محیط متخلخل غیر اشیاع را بیان می‌کند. این معادله برای محیط‌های متخلخل تراکم ناپذیر در شرایط سه فازی به صورت زیر نوشته می‌شود (Parker et al., 1987; Bear et al., 1987; Cheng, 2008):

$$\xi\left(\frac{\partial S_w}{\partial t}\right) = \nabla \cdot \{(k_w(\nabla h_w + 1)\} \quad (1)$$

$$\xi\left(\frac{\partial S_o}{\partial t}\right) = \nabla \cdot \{(k_o(\nabla h_o + 1)\} \quad (2)$$

$$\xi\left(\frac{\partial S_a}{\partial t}\right) = \nabla \cdot \{(k_a(\nabla h_a + 1)\} \quad (3)$$

$$\nabla = \left(\frac{\partial}{\partial x}\right)i + \left(\frac{\partial}{\partial y}\right)j + \left(\frac{\partial}{\partial z}\right)k \quad (4)$$

که در آن‌ها  $\xi$  تخلخل خاک و  $S_w$  و  $S_o$  و  $S_a$  درصد حجمی به ترتیب آب، NAPL و هوا،  $K_w$  و  $K_o$  و  $K_a$  هدایت هیدرولیکی محیط برای آب، NAPL و هوا و  $h_a$  و  $h_o$  و  $h_w$  هدایت هیدرولیکی محیط برای آب، NAPL و هوا است.

اساس اغلب پژوهش‌های منحنی نگهداشت خاک در سیستم‌های سه فازی، فرضیات Leverett (1941) است. این فرضیات، رابطه‌ی حجم مایع-پتانسیل ماتریک خاک (S<sub>t-h</sub>-NAPL) در شرایط دو فازی NAPL-هوا را به شرایط سه فازی NAPL-آب-هوا بسط می‌دهند. بر مبنای این فرضیات در سیستم‌های سه فازی، ماده هیدروکربنی به روی لایه‌های آب جذب شده به ذرات خاک قرار گرفته و باعث از بین رفتن سطح تماس آب-هوا می‌شود. بنابراین در سیستم‌های سه فازی NAPL-آب-هوا مقدار حجمی مایع کل تابعی از بار فشار مویینه‌ی سطح تماس NAPL-هوا (h<sub>oa</sub>) است. Ferrand (1988)، Parker و Lenhard (1988) همکاران (1990) فرضیات لورت را آزموده و تایید کردند. لیکن Busby و همکاران (1995)، McBride و همکاران

<sup>۱</sup> Unimodal

$$\lim_{\theta \rightarrow \theta_r} K(\theta) = 0 \quad (10)$$

Campbell (1974) نیز معادله‌ای برای پیش‌بینی رابطه پتانسیل ماتریک و رطوبت خاک ارایه داده است:

$$\theta = \theta_s \left( \frac{h}{h_0} \right)^{-1/b} \quad (11)$$

که در آن  $h_0$  پتانسیل ماتریک خاک در نقطه ورود هوا به خاک و  $b$  پارامتر توزیع تخلخل منحنی رطوبتی و عکس  $\lambda$  (معادله ۹) است.

van Genuchten (1980) نیز مدلی برای برآورد منحنی نگهداشت خاک ارایه کرده است:

$$S_e = (1 + (\alpha h)^n)^{-m}, \quad m = 1 - \frac{1}{n} \quad (12)$$

که در آن  $m$  و  $n$  پارامترهای شب منحنی نگهداشت خاک و  $\alpha$  با عکس مقدار نقطه ورود هوا منحنی رطوبتی مرتبط است.

نفت خام یکی از مهمترین آلاینده‌های هیدرولوکربنی است که در اثر نشت مخازن زیر زمینی و لوله‌های انتقال وارد محیط زیست می‌شود. بنابراین، بررسی توانایی نگهداشت و انتقال خاک برای نفت خام در سیستم‌های دو فازی NAPL-هوای سه فازی NAPL-هوای آب ضروری تلقی می‌شود. در این راستا، هدف از انجام این پژوهش، بررسی منحنی نگهداشت خاک در سیستم‌های سه فازی نفت خام-آب-هوای آب و اثر مقدار نفت خام بر نگهداشت خاک در شرایط سه فازی NAPL-آب-هوای آب بود.

## مواد و روش‌ها

ویژگی‌های فیزیکی محیط متخلخل مورد مطالعه در این پژوهش در جدول ۱ ارایه شده است.

در این جدول،  $d_g$  و  $d_{g^2}$  به ترتیب انحراف معیار هندسی و میانگین هندسی قطر ذرات خاک می‌باشند (Shirazi and Boersma, 1984). همچنین از طریق آزمایش ستون‌های الک، توزیع اندازه ذرات خاک تعیین و رسم شد. شکل ۱ توزیع اندازه ذرات خاک را نشان می‌دهد.

همکاران (2004) به تاثیر حضور NAPL بر روی توزیع تخلخل خاک در دو حالت آب‌گیری و زهکشی پرداختند. آن‌ها با توجه به شباهت‌های بین مدل‌سازی رطوبت باقیمانده<sup>۲</sup> و NAPL باقیمانده، مدلی ریاضی برای برآورد مقدار NAPL باقیمانده در محیط‌های سه فازی NAPL-هوای آب ارایه دادند.

حل معادله ریچاردز در محیط‌های متخلخل غیراشباع نیازمند وجودتابع پیوسته‌ی مقدار حجمی فاز مایع و هدایت هیدرولیکی خاک به عنوان تابعی از پتانسیل van Genuchten, 1980; van Genuchten and Nielsen, 1985 خاک<sup>۳</sup> رابطه بین پتانسیل ماتریک و مقدار حجمی فاز مایع خاک را نشان می‌دهد. تا کنون روش‌های زیادی برای اندازه‌گیری مستقیم منحنی نگهداشت خاک ارایه شده است (Dane and Hopmans, 2002). با وجود پیشرفت‌های که برای اندازه‌گیری مستقیم این ویژگی خاک دیده می‌شود، این روش‌ها همچنان وقت‌گیر و پرهزینه هستند. تا کنون تلاش‌های بسیاری برای مدل‌سازی منحنی نگهداشت خاک صورت گرفته است. Brooks و Corey (1964) با بکار بردن ماده نفتی سالترول<sup>۴</sup> مدلی برای برآورد مقدار حجمی فاز مایع به عنوان تابعی از پتانسیل ماتریک خاک ارایه کرده‌اند:

$$S_e = \left( \frac{\theta - \theta_r}{\theta_s - \theta_r} \right) = (\alpha h)^{-\lambda} \quad (9)$$

که در آن،  $\lambda$  پارامتر توزیع خلل و فرج،  $\theta_s$  مقدار حجمی مایع خاک در حالت اشباع و در شرایط ایده‌آل معادل تخلخل خاک است و  $\alpha$  با معکوس پتانسیل ماتریک خاک در نقطه ورود هوا<sup>۵</sup> به خاک مرتبط است. هنگامی که مقدار فاز مایع خاک به  $\theta_r$  کاهش یابد، هدایت هیدرولیکی خاک به صفر میل می‌کند:

<sup>1</sup> Biomodal

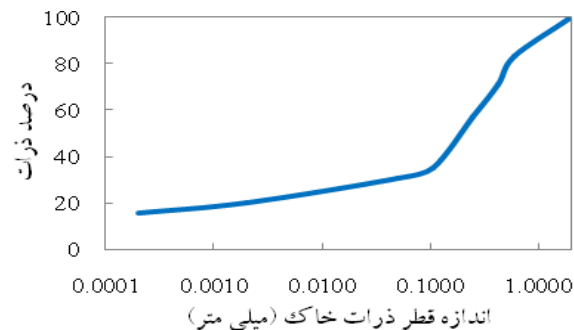
<sup>2</sup> Residual or irreducible moisture

<sup>3</sup> Soil retention curve

<sup>4</sup> Soltrol

<sup>5</sup> Air entry value or bubbling pressure

آلینده به کار رفته در این پژوهش نفت خام<sup>۱</sup> بود. نفت خام یا نفت سنگ آمیزه‌ی پیچیده‌ای از هیدروکربن‌هایی گوناگون است که عمدتاً از دو عنصر هیدروژن و کربن تشکیل شده و دارای مقادیر کمی از نیتروژن، اکسیژن و گوگرد هستند (Lide, 2003). ویژگی‌های فیزیکی این سیالات در جدول ۲ ارایه شده است.



شکل ۱- منحنی توزیع اندازه ذرات خاک مورد مطالعه

جدول ۱- ویژگی‌های فیزیکی خاک مورد استفاده در آزمایش

$\sigma_g$	$d_g$	$\rho_p$	$\rho_b$	تخلخل حجمی	رس	سیال شن	بافت
mm		g.cm <sup>-3</sup>		%			
۱۰۲	۷/۷	۷/۷	۶/۶	۴۸/۹	۶/۶	۲۶/۷	۷/۷
۱۱	۶۲	۲۶	۱۰		۱۰	۶۲	sandy loam

جدول ۲- ویژگی‌های فیزیکی نفت خام بکار رفته در آزمایش

نام سیال	وزن مخصوص	گرانروی سینماتیکی	گرانروی دینامیکی	کشش سطحی
(g.cm <sup>-3</sup> )	(g.cm <sup>-3</sup> )	(cp <sup>1</sup> )	(cst <sup>1</sup> )	(dyne.cm <sup>-1</sup> )
۰/۸۷	۷/۸	۸/۹	۲/۶۳	۲۷۰/۶۳
۱	۱	۱	۷۲/۲	۷۲۰/۲

۱- سانتی پواز، ۲- سانتی استوکس

گرفتند. در هر مرحله از اعمال مکش، مقدار سیال زهکش شده در استوانه مدرج جمع‌آوری شده و با کم کردن حجم سیال خارج شده از حجم مایع خاک قبل از اعمال مکش، مقدار حجمی مایع خاک محاسبه شد. فرآیند اعمال مکش تا ۲۷۰ سانتی‌متر آب ادامه یافت. مقدار پتانسیل ماتریک مایع خاک نیز با محاسبه اختلاف سطح آب در شاخه آزاد و نمونه‌های خاک (h) بدست آمد.

بدین ترتیب رابطه پتانسیل ماتریک و مقدار حجمی مایع خاک (S<sub>t-h</sub>) بدست آمد.

منحنی نگهداشت آب و نفت خام توسطتابع هیدرولیکی ون گنوختن، بروکس-کوری و کمپل تا مکش ۱۵ بار پیش‌بینی شد. برای بررسی آماری صحت پیش‌بینی مدل‌ها

منحنی‌های نگهداشت خاک در سیستم‌های سه فازی NAPL-هوا-آب به وسیله‌ی دستگاه ستون آویزان<sup>۲</sup> رسم شد. در ابتدا نمونه‌های خاک بر مبنای جرم ویژه ظاهری خاک فشرده شدند. سپس ۵۰، ۲۵ و ۷۵ درصد تخلخل کل نمونه‌های خاک با نفت خام از زیر اشباع شدند. نمونه‌های خاک بر روی صفحه سرامیکی قیف بوخنر<sup>۳</sup> دستگاه ستون آویزان قرار گرفتند تا بقیه تخلخل خاک با آب اشباع کامل شود. در نتیجه تخلخل ابتدایی نمونه‌های خاک با نسبت-های ۵۰-۲۵، ۷۵-۲۵ و ۷۵-۵۰ نفت خام-آب کاملاً اشباع شد. با تنظیم ارتفاع سطح آب در شاخه آزاد دستگاه از نمونه خاک (h)، نمونه‌ها تحت مکش‌های مشخصی قرار

<sup>1</sup> Petroleum (unrefined crude oil)

<sup>2</sup> Hanging column apparatus

<sup>3</sup> Buchner funnel

$$CRM = \frac{\sum_{i=1}^n O_i - \sum_{i=1}^n P_i}{\sum_{i=1}^n O_i} \quad (17)$$

که در آنها  $P_i$  و  $O_i$  مقادیر پیش‌بینی شده و اندازه‌گیری شده،  $\bar{O}$  و  $n$  نیز به ترتیب مقدار میانگین تعداد داده‌ها می‌باشد.

### نتایج و بحث

شکل ۲ منحنی نگهداشت تجربی و برآورده شده بر مبنای مدل‌های هیدرولیکی در منحنی نگهداشت سیستم‌های سه فازی نفت خام-آب-هوای دوفازی آب-هوای نشان می‌دهد. همانطور که در شکل ۲ قابل مشاهده است، در همه‌ی سیستم‌های سه فازی NAPL-آب-هوای در مقدار معینی از سیال خاک مقدار مکش بیشتری برای زهکشی مایع خاک نسبت به سیستم دو فازی آب-هوای لازم است. این نتایج با نتایج پژوهش Alferi و همکاران (2011)، و Cui و همکاران (2003) همسو است. همچنین با افزایش مقدار نفت خام، در مقدار مشخصی از فاز مایع مقدار مکش بیشتری برای خارج کردن مایع خاک نیاز است. بنابراین در سیستم‌های سه فازی، بیشترین نگهداشت محیط برای ترکیب ۷۵-۲۵ نفت خام-آب می‌باشد. پس از آن، خاک بیشترین نگهداشت را به ترتیب برای ترکیبات ۵۰-۵۰ و ۷۵-۲۵ NAPL-آب دارد. جدول ۳ پارامترهای معادله‌های نگهداشت خاک را در شرایط سه فازی NAPL-آب-هوای و شرایط دو فازی آب-هوای نشان می‌دهد.

از آماره‌های خطای حداقل<sup>۱</sup>، ریشه‌ی میانگین مربعات خطأ<sup>۲</sup>، ضریب تعیین<sup>۳</sup>، کارائی مدل<sup>۴</sup> و ضریب جرم باقیمانده<sup>۵</sup> استفاده شد. مقدار بالای ME نشانگر بدترین پیش‌بینی مدل است. مقادیر RMSE نشان دهنده مقدار خطای مدل است (Zarei et al., 2010). در این پژوهش برای محاسبه RMSE از روش Marquardt (1963) استفاده شد. مقادیر CD نیز معرف نسبت بین پراکندگی مقادیر پیش‌بینی ME و مقادیر اندازه‌گیری شده است. حد پایینی CRM و CD صفر می‌باشد. مقایسه‌ی بین مقادیر اندازه‌گیری شده و متوسط مقادیر مشاهده شده توسط شاخص EF انجام گرفت. هر چه این شاخص به یک نزدیکتر باشد، مدل پیش‌بینی بهتری داشته است. شاخص CRM تمایل مدل به بیش برآورده یا کم برآورده مقادیر اندازه‌گیری شده را نشان می‌دهد (Khodaverdiloo et al., 2011). مقدار منفی CRM تمایل به بیش برآورده را نشان می‌دهد و CRM مثبت یعنی نمون داده‌ها را کمتر از داده‌های مشاهده شده پیش‌بینی کرده است. اگر مقادیر مشاهده شده و پیش‌بینی شده مدل برابر باشند،  $RMSE=0$ ,  $ME=0$ ,  $EF=1$ ,  $CD=1$  ذکر شده به صورت زیر است (Homaei et al., 2002).

$$ME = Max | P_i - O_i |_{(i=1)}^n \quad (13)$$

$$RMSE = \sqrt{\sum_{i=1}^n (P_i - O_i)^2 / n} \quad (14)$$

$$CD = \sum_{i=1}^n (O_i - \bar{O})^2 / \sum_{i=1}^n (P_i - \bar{O})^2 \quad (15)$$

$$EF = \frac{\sum_{i=1}^n (O_i - \bar{O})^2 - \sum_{i=1}^n (P_i - O_i)^2}{\sum_{i=1}^n (O_i - \bar{O})^2} \quad (16)$$

<sup>1</sup> Maximum Error

<sup>2</sup> Root Means Square Error

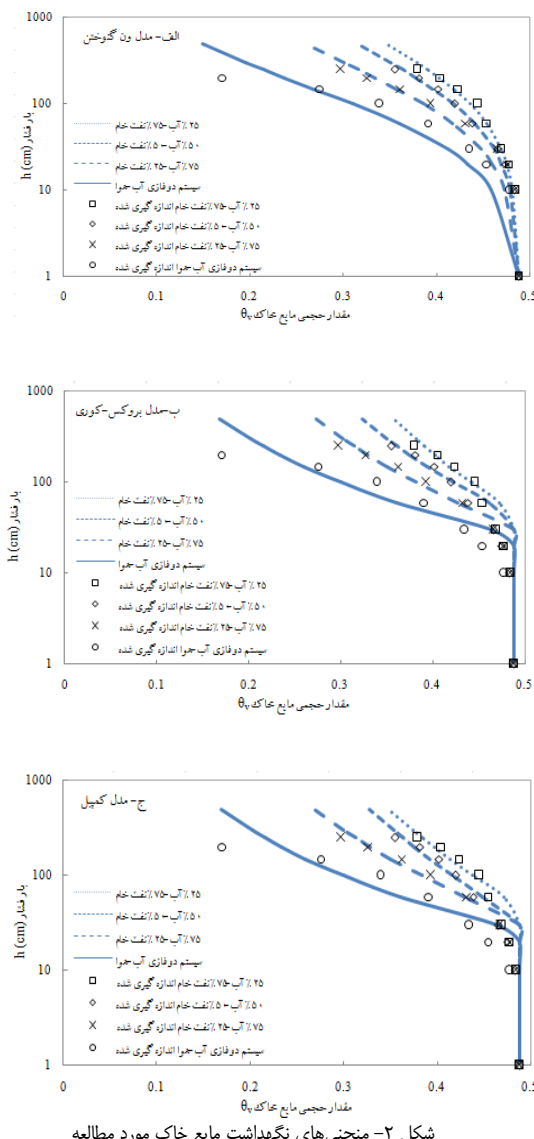
<sup>3</sup> Coefficient of Determination

<sup>4</sup> Modeling Efficiency

<sup>5</sup> Coefficient of Residual Mass

سه فازی نسبت به شرایط دوفازی آب-هوای لازم است. به طورکلی با کاهش مقدار نفت خام در سیستم‌های سه فازی، مقدار پارامترهای نقطه ورود هوای توزیع تخلخل منحنی‌های رطوبتی افزایش می‌یابد (جدول ۳).

هنگامی که NAPL‌ها در محیط متخلخل قرار می‌گیرند، به تله افتادن این مواد در مجاري خاک باعث بسته شدن اين مجاري و کاهش تخلخل موثر در جريان می‌شوند. بسته شدن برخی از مجاري خاک باعث ايجاد جريان ترجيحي<sup>۱</sup> در خاک می‌شود. به عبارت ديگر NAPL‌ها با تغيير توزيع تخلخل خاک، بر منحنی رطوبتی تاثير می‌گذارند. همچنین دفع آب بوسيله NAPL باقیمانده بر روی ذرات خاک سبب ايجاد تاخير در جريان آب در خاک‌های آلوود به نفت می‌شود. به تله افتادن NAPL در خلل و فرج مسدود خاک و محبوس شدن هوای خاک به دليل بسته شدن مجاري بوسيله NAPL‌ها، نيز باعث از دست رفتن بخشی از تخلخل قابل زهکشی خاک می‌شود. تمامی موارد ذكر شده باعث افزایش مقاومت هيدروليكي<sup>۲</sup> در برابر جريان مایع خاک می‌شود. با توجه به رابطه معكوس بين مقاومت و هدايت هيدروليكي می‌توان نتيجه گرفت که هدايت هيدروليكي محيط متخلخل در سیستم‌های سه فازی آب-هوای کاهش می‌یابد. آماره‌های مربوط به اعتبار NAPL-آب-هوای کاهش می‌یابد. آماره‌های مربوط به اعتبار سنجي مدل‌های هيدروليكي به کار رفته در اين پژوهش در جدول ۴ ارایه شده است. نتایج جدول ۴ نشان می‌دهد که كاري (EF) مدل ون‌گنوختن از مدل‌های كمپيل و بروكس-كوري بيشتر است. مدل‌های بروكس-كوري و كمپيل منحنی رطوبتی خاک را در نمودارهای لگاريتمي به صورت دو خط متصل شده در نقطه ورود هوای براورد می‌کنند. اين ناپيوستگي<sup>۳</sup> در نقطه ورود هوای خاک سبب بيش برآوردي مدل‌های بروكس-كوري و كمپيل می‌شود (شكل‌های ۲.ب و ۲.ج). مقادير CRM منفي در مدل‌های بروكس-كوري و كمپيل نشان دهنده اين بيش برآوردي



شکل ۲- منحنی‌های نگهداشت مایع خاک مورد مطالعه

از دیدگاه پارامتریک، مقدار پارامترهای نقطه ورود هوای  $\alpha$  و  $1/h_0$  منحنی نگهداشت خاک در سیستم‌های سه فازی نسبت به سیستم دو فازی آب-هوای کاهش یافته است. با توجه به رابطه معكوس اين پارامترها با نقطه ورود هوای خاک، اين کاهش نمادي از افزایش مقدار نقطه ورود هوای به خاک در شرایط سه فازی NAPL-آب-هوای است. همچنین، مقدار پارامترهای توزیع تخلخل خاک ( $n$  و  $b$ ) نيز کاهش یافته است. کاهش پارامترهای توزیع خلل و فرج خاک بيانگر افزایش شيب منحنی رطوبتی در سیستم‌های سه فازی است. اين نتایج نشانگر آن است که مقدار نيروري بيشتری برای خارج کردن سیالات در شرایط

<sup>1</sup> Bypass flow

<sup>2</sup> Hydraulic resistance discontinuity

LNAPL در محیط، سبب افزایش نگهداشت خاک می‌شود. از دیدگاه پارامتریک، پارامترهای شکل ( $n$ ,  $\lambda$  و  $1/b$ ) و نقطه ورود هوا به خاک ( $a$  و  $1/h_0$ ) مدل‌های هیدرولیکی در شرایط سه فازی نسبت به شرایط دو فازی کاهش یافته است. این کاهش نشانگر افزایش مقدار نقطه ورود هوا به خاک و شبیه منحنی رطوبتی خاک در شرایط سه فازی است. تغییر توزیع تخلخل خاک، مهم‌ترین عامل افزایش نگهداشت سیال خاک در سیستم‌های سه فازی است. به طوری کلی نتایج نشان داد که مقاومت در برابر جریان در سیستم‌های سه فازی نفت خام-آب-هوای بیشتر از سیستم‌های دو فازی آب-هوای است.

همچنین مقادیر آماره‌های ME، RMSE و EF بیانگر آن است که مدل ون گنوختن نسبت به دو مدل دیگر دقیق‌تر و اعتبار برآورده بیشتری دارد. وجود ناپوستگی در منحنی نگهداشت‌های برآورده شده بر مبنای مدل‌های بروکس-کوری و کمپیل دلیل بیشتر برآورده CRM و منفی مدل‌ها است. حال آن مقادیر CRM مثبت مدل ون گنوختن در شرایط دو فازی و سه فازی نشانگر کم برآورده مدل ون گنوختن است.

اعتبار مدل ون گنوختن در برآورده منحنی نگهداشت خاک در سیستم‌های سه فازی نفت خام-آب-هوای نسبت به دو مدل دیگر بیشتر است.

است. مدل ون گنوختن منحنی نگهداشت خاک قبل از ورود هوا به خاک را به صورت سهمی پیش‌بینی می‌کند. در نتیجه ناپوستگی مذکور در نقطه ورود هوا به خاک در منحنی نگهداشت‌های برآورده شده بر مبنای مدل ون گنوختن وجود ندارد. به عبارت دیگر، نگاه مدل‌های بروکس-کوری و کمپیل به فرآیند ورود هوا به خاک به صورت نقطه‌ای و دیدگاه مدل ون گنوختن به صورت فرآیندی تدریجی می‌باشد. بنابراین بیش برآورده مدل‌های بروکس-کوری و کمپیل در مدل ون گنوختن دیده نمی‌شود (شکل ۲.الف) و CRM مدل ون گنوختن مثبت است. به غیر از سیستم سه فازی با نسبت اولیه ۷۵-۲۵ نفت خام-آب، مدل ون گنوختن RMSE و ME کمتری نسبت به مدل‌های بروکس-کوری و کمپیل دارد. همچنین با کاهش مقدار نفت خام در سیستم‌های سه فازی کارایی مدل‌های کمپیل و بروکس-کوری افزایش یافته است.

به طور کلی، اعتبار مدل ون گنوختن در برآورده منحنی نگهداشت خاک در سیستم‌های سه فازی نفت خام-آب-هوای نسبت به دو مدل دیگر بیشتر است.

### نتیجه‌گیری

نتایج این پژوهش نشان داد که نگهداشت مایع خاک در شرایط سه فازی نفت خام-آب-هوای نسبت به شرایط دو فازی آب-هوای بیشتر است. همچنین افزایش مقدار

جدول ۳- پارامترهای مدل‌های ون گنوختن، بروکس-کوری و کمپیل در شرایط دو فازی و سه فازی

مدل							ترکیب (NAPL آب)		
ون گنوختن					بروکس-کوری			کمپیل	
$n$	$m$	$a$	$\theta_s$	$\theta_r$	$\alpha$	$\lambda$	$\theta_r$	$h_0$	$b$
۱/۶۹	۰/۴	۰/۰۰۹	۰/۴۹	۰/۰۰۱۶	۰/۰۰۲۹	۰/۳۷	۰/۰۰۴	۳۸/۷	۲/۱
۱/۲۷	۰/۲۱	۰/۰۰۵	۰/۴۹	۰/۰۰۰۷	۰/۰۰۲۱	۰/۱۶	۰/۰۰۷	۴۷/۴	۷/۹
۱/۲۹	۰/۲۲	۰/۰۰۷	۰/۴۹	۷/۹\times 10^{-5}	۰/۰۰۲۲	۰/۲۲	۰/۰۰۹	۳۴/۳	۷/۷
۱/۳۸	۰/۲۷	۰/۰۰۸	۰/۴۹	۷/۹\times 10^{-5}	۰/۰۰۳	۰/۲۷	۰/۰۰۷	۳۳/۹	۴/۵
آب									
۲۵-۷۵									
۵۰-۵۰									
۷۵-۲۵									

جدول ۴ - آماره‌های محاسبه شده اعتبار سنجی مدل‌های ون‌گنوختن، بروکس-کوری و کمپل

CRM (-)	CD (-)	RMSE (%)	EF (-)	ME (%)	ترکیب (نفت خام-آب)	مدل
+002	1/15	0/02	0/97	1/11	25-75	
+003	1/09	0/44	0/99	0/85	50-50	۱۷۰۷
+013	1/3	1/28	0/96	1/86	75-25	۱۷۰۸
+019	1/44	2/06	0/91	6/7	آب	
-+007	0/79	2/1	0/91	1/9	25-75	
-+014	0/79	1/24	0/92	2/3	50-50	۱۶۰۵
-+007	0/94	1/14	0/97	2/19	75-25	۱۶۰۶
-+006	0/71	2/76	0/86	8/4	آب	۱۶۰۷
-+0077	0/76	2/2	0/91	1/9	25-75	
-+01	0/81	1/06	0/94	2/23	50-50	
-+01	0/90	1/08	0/97	2/19	75-25	۱۶۰۸
-+03	0/937	2/18	0/9	5/34	آب	

transient salinity using different macroscopic reduction functions. Agricultural Water Management 57:89-109.

Jarsjö, J., Destouni, G. and Yaron, B. 1994.

Retention and volatilisation of kerosene: Laboratory experiments on glacial and post-glacial soils. Journal of Contaminant Hydrology 17:167-185.

Khodaverdiloo, H., Homaei, M., van Genuchten, M.Th. and Dashtaki, S.G. 2011. Deriving and validating pedotransfer functions for some calcareous soils. Journal of Hydrology 399:93-99.

Lenhard, R. and Parker, J. 1988. Experimental validation of the theory of extending two-phase saturation-pressure relations to three-fluid phase systems for monotonic drainage paths. Water Resources Research 24:373-380.

Lenhard, R.J., Oostrom, M. and Dane J.H. 2004. A constitutive model for air-NAPL-water flow in the vadose zone accounting for immobile, non-occluded (residual) NAPL in strongly water-wet porous media. Journal of Contaminant Hydrology 71:261-282.

Leverett, M. 1941. Capillary behavior in porous media. Trans. AIME 142:341-358.

Lide, D.R. 2003. CRC Handbook of Chemistry and Physics. 84th. FL: CRC Press Boca Raton.

Marquardt, D.W. 1963. An algorithm for least-squares estimation of nonlinear parameters. Journal of the society for Industrial and Applied Mathematics 11:431-441.

McBride, J., Simmons, C. and Cary, J. 1992. Interfacial spreading effects on one-dimensional organic liquid imbibition in water-wetted porous media. Journal of Contaminant Hydrology 11:1-25.

#### فهرست منابع

- Alferi, M., Romero, E. Dominijanni, A. and Manassero, M. 2011. LNAPL retention in partially saturated silty sand. In: Alonso & Gens (eds). Unsaturated Soils. Taylor & Francis Group, London, ISBN 978-0-415-60428-4.
- Bear, J. and Cheng, A.H.-D. 2008. Modeling groundwater flow and contaminant transport: Springer Verlag.
- Brooks, R.H. and Corey, A.T. 1964. Hydraulic properties of porous media. Hydrology Papers, Colorado State University.
- Busby, R.D., Lenhard, R.J. and Rolston, D.E. 1995. An Investigation of Saturation-Capillary Pressure Relations in Two-and Three-Fluid Systems for Several NAPLS in Different Porous Media. Ground Water 33:570-578.
- Campbell, G.S. 1974. A simple method for determining unsaturated conductivity from moisture retention data. Soil Science 117:311.
- Cui, Y., Delage, P. and Alzoghb, P. 2003. Retention and transport of a hydrocarbon in a silt. Geotechnique 53:83-91.
- Dane, J. and Hopmans, J. 2002. Water retention and storage. Laboratory. in Dane et al., ed. Methods of soil analysis. Part 4:675–680.
- Ferrand, L.A., Milly, P., Pinder, G.F. and Turrin, R.P. 1990. A comparison of capillary pressure-saturation relations for drainage in two-and three-fluid porous media. Advances in Water Resources 13:54-63.
- Francis, C. and Bennet, H. 1922. The Surface Tension of Petroleum. Industrial & Engineering Chemistry 14:626-627.
- Homaei, M., Dirksen, C. and Feddes, R. 2002. Simulation of root water uptake: I. Non-uniform

- flow equation. Water Resour. Prog., Dep. Civ. Eng., Princeton Univ., Princeton, NJ, Res. Rep:09.
- van Genuchten, M.Th. 1980. A closed-form equation for predicting the hydraulic conductivity of unsaturated soils. Soil Sci. Soc. Am. J 44:892-898.
- van Genuchten, M.Th. and Nielsen, D. 1985. On describing and predicting the hydraulic properties of unsaturated soils. Ann. Geophys 3:615-628.
- Wilson, J.L., Conrad, S., Mason, W., Peplinski, W. and Hagan, E. 1989. Laboratory investigation of residual liquid organics from spills, leaks, and the disposal of hazardous wastes in ground water. Final report, April 1986-August 1989. New Mexico Inst. of Mining and Technology, Socorro, NM (USA).
- Zarei, G., Homaei, M., Liaghat, A.M. and Hoofar, A.H. 2010. A model for soil surface evaporation based on Campbell's retention curve. Journal of Hydrology 380:356-361.
- Mercer, J.W. and Cohen, R.M. 1990. A review of immiscible fluids in the subsurface: Properties, models, characterization and remediation. Journal of Contaminant Hydrology 6:107-163.
- Newell, C.J., Acree, S.D., Ross, R.R. and Huling, S.G. 1995. Light nonaqueous phase liquids. US Environmental Protection Agency, Office of Research and Development, Office of Solid Waste and Emergency Response.
- Parker, J., Lenhard, R. and Kuppusamy, T. 1987. A parametric model for constitutive properties governing multiphase flow in porous media. Water Resources Research 23:618-624.
- Pinder, G.F. and Gray, W.G. 2008. Essentials of multiphase flow in porous media: John Wiley & Sons, INC.
- Richards, L.A. 1931. Capillary conduction of liquids through porous mediums. Physics 1:318-333.
- Shirazi, M.A. and Boersma, L. 1984. A Unifying Quantitative Analysis of Soil Texture. Soil Science Society of America Journal 48:142-147.
- van Genuchten, M.Th. 1978. Numerical solutions of the one-dimensional saturated-unsaturated



ISSN 2251-7480

## Parametric assessment of soil retention at presence of petroleum in three-phase system

**Milad Nouri<sup>1</sup>, Mehdi Homaei<sup>2\*</sup> and Mohammed Bybordi<sup>2</sup>**

1) M.Sc. Student; Department of Soil Science; Tarbiat Modares University; Tehran 14115-336; Iran

2) Professor; Department of Soil Science; Tarbiat Modares University; Tehran 14115-336; Iran

\*corresponding author email: mhomaei@modares.ac.ir

Received: 11-07-2012

Accepted: 21-11-2012

### Abstract

Reclamation of oil-contaminated soils is essential for optimal conservation of soil and water resources. Any decontamination of such soils from hydrocarbons contamination requires quantitative evaluation of soil hydraulic properties at presence of such contaminants. The objective of this study was to investigate the soil retention in NAPL-water-air three-phase systems. Consequently, soil retention curves were obtained using hanging column method with three primary NAPL-water ratios 25-75, 50-50 and 75-25. The parameters of soil retention curves were then obtained based on van Genuchten, Brooks-Corey and Campbell models. The model performance was also evaluated based on ME, RMSE, EF, CD and CRM. The results indicated that by decreasing the amount of NAPLs, the pore size distribution parameters of the hydraulic models ( $n$ ,  $\lambda$  and  $1/b$ ) and their bubbling pressure parameters were both reduced. Therefore, bubbling pressure and slope of soil retention curves were increased. The results also showed that in a given amount of soil liquid phase, more suction is needed to drain out fluids in three-phase (NAPL-water-air) systems compares to two-phase (water-air) system. Thus, in a given quantity of NAPL, the porous media provide more retention for three-phase systems. Also, the calculated statistics indicated that van Genuchten model provides more reasonable predictions for NAPLs retention in three-fluid phase systems for monotonic drainage paths.

**Keywords:** NAPL; NAPL-water-air three-phase systems; soil hydraulic models; soil retention curve